Phytoprotection

phytoprotection



Comparaison de techniques d'identification des *Erwinia* et des *Pseudomonas* responsables de la pourriture molle

M. Lacroix, L. Vézina, S. Desjardins and C. Beaulieu

Volume 76, Number 1, 1995

URI: https://id.erudit.org/iderudit/706082ar DOI: https://doi.org/10.7202/706082ar

See table of contents

Publisher(s)

Société de protection des plantes du Québec (SPPQ)l

ISSN

0031-9511 (print) 1710-1603 (digital)

Explore this journal

Cite this article

Lacroix, M., Vézina, L., Desjardins, S. & Beaulieu, C. (1995). Comparaison de techniques d'identification des *Erwinia* et des *Pseudomonas* responsables de la pourriture molle. *Phytoprotection*, 76(1), 27–37. https://doi.org/10.7202/706082ar

Article abstract

Three methods, namely physiological characterization, the use of miniaturized identification Systems (API 20E, API NFT, and Biolog) and the analysis of the electrophoretic profile of proteins secreted by the bacteria, were used in order to determine a precise and quick identification technique for the *Pseudomonas* and *Erwinia* species causing soft rots in several plant species. The analysis of the electrophoretic profile of the proteins secreted is a very efficient method of identification for the various pectinolytic species of fluorescent *Pseudomonas*. The Biolog System accurately recognizes *P. marginalisand P. viridiflava*. The API NFT System is efficient for the identification of *P. marginalis, P. viridiflava* and *P. syringae*. The API 20E System was found to be the most reliable System for identifying *Erwinia* species. The electrophoresis of proteins secreted and the API NFT system allow a quick and efficient identification of *Pseudomonas* species, while for *Erwinia* species, only the API 20E System is efficient.

La société de protection des plantes du Québec, 1995

This document is protected by copyright law. Use of the services of Érudit (including reproduction) is subject to its terms and conditions, which can be viewed online.

https://apropos.erudit.org/en/users/policy-on-use/



Comparaison de techniques d'identification des *Erwinia* et des *Pseudomonas* responsables de la pourriture molle

Michel Lacroix¹, Lise Vézina¹, Suzanne Desjardins¹ et Carole Beaulieu²

Reçu 1994-07-07; accepté 1994-12-15

Trois méthodes, soit la caractérisation physiologique, l'utilisation de systèmes miniaturisés d'identification (API 20E, API NFT et Biolog) et l'analyse du profil électrophorétique des protéines sécrétées, ont été expérimentées afin de déterminer une technique précise et rapide d'identification des *Pseudomonas* et des *Erwinia* responsables de la pourriture molle. L'analyse des patrons électrophorétiques des protéines sécrétées est une méthode très efficace pour identifier les différentes espèces pectinolytiques de *Pseudomonas* fluorescents. Le système Biolog reconnaît efficacement le *P. marginalis* et le *P. viridiflava*. Le système API NFT est efficace pour l'identification du *P. marginalis*, du *P. viridiflava* et du *P. syringae*. C'est le système API 20E qui s'est avéré le plus efficace pour l'identification des *Erwinia*. L'électrophorèse des protéines sécrétées et le système API NFT permettent une identification rapide et efficace des *Pseudomonas*, tandis que pour les *Erwinia*, seul le système API 20E est performant.

Lacroix, M., L. Vézina, S. Desjardins, and C. Beaulieu. 1995. Comparison of identification methods for *Erwinia* and *Pseudomonas* species causing soft rot diseases. PHYTOPROTECTION 76: 27-37.

Three methods, namely physiological characterization, the use of miniaturized identification systems (API 20E, API NFT, and Biolog) and the analysis of the electrophoretic profile of proteins secreted by the bacteria, were used in order to determine a precise and quick identification technique for the *Pseudomonas* and *Erwinia* species causing soft rots in several plant species. The analysis of the electrophoretic profile of the proteins secreted is a very efficient method of identification for the various pectinolytic species of fluorescent *Pseudomonas*. The Biolog system accurately recognizes *P. marginalis* and *P. viridiflava*. The API NFT system is efficient for the identification of *P. marginalis*, *P. viridiflava* and *P. syringae*. The API 20E system was found to be the most reliable system for identifying *Erwinia* species. The electrophoresis of proteins secreted and the API NFT system allow a quick and efficient identification of *Pseudomonas* species, while for *Erwinia* species, only the API 20E system is efficient.

Service de phytotechnie de Québec, Ministère de l'Agriculture, des Pêcheries et de l'Alimentation du Québec, Complexe scientifique, 2700, rue Einstein, Sainte-Foy (Québec), Canada G1P 3W8

^{2.} Département de biologie, Université de Sherbrooke, Sherbrooke (Québec), Canada J1K 2R1

INTRODUCTION

Le laboratoire de diagnostic du ministère de l'Agriculture, des Pêcheries et de l'Alimentation du Québec (MAPAQ) reçoit chaque année de nombreuses plantes cultivées atteintes de la pourriture molle. Entre 1989 et 1993, la pourriture molle a été la maladie bactérienne la plus souvent diagnostiquée, avec 216 diagnostics positifs sur 561 échantillons ayant des symptômes causés par des bactéries. Les agents bactériens responsables de la pourriture molle appartiennent à plusieurs genres: Erwinia, Pseudomonas, Bacillus, Clostridium, Flavobacterium, Cytophaga et Xanthomonas (Liao et Wells 1987a; Lund 1983). Les bactéries pectinolytiques des genres Erwinia et Pseudomonas sont cependant les plus fréquentes en Amérique du Nord (Cappellini et al. 1987; Ceponis et al. 1985; Gitaitis et al. 1991; Hildebrand 1989; Liao et Wells 1987b; Pieczarka et Lorbeer 1975).

Différentes méthodes ont été utilisées pour identifier les Erwinia et les Pseudomonas pectinolytiques: la caractérisation des bactéries selon des critères physiologiques (Dickey et Kelman 1988; Hildebrand et al. 1971; Lelliott et al. 1966), l'analyse sérologique (Dickey et al. 1984; Samson et al. 1987), l'hybridation ADN-ADN (Palleroni 1984), la comparaison des profils protéiques (Van Zyl et Steyn 1990), le polymorphisme des fragments de restriction de l'ADN (RFLP) (Boccara et al. 1991; Ward et De Boer 1994) et l'amplification en chaîne par polymérase (PCR) (Darrasse et al. 1994). Plusieurs de ces techniques sont laborieuses, coûteuses ou requièrent de l'équipement spécialisé. Certaines compagnies offrent donc aux laboratoires faisant de l'identification bactérienne de facon routinière. des systèmes miniaturisés d'identification (API 20E, API NFT, Biolog, etc.) qui permettent d'évaluer rapidement plusieurs propriétés physiologiques et biochimiques des bactéries.

Aulaboratoire de diagnostic du MAPAQ, les bactéries pectinolytiques des genres *Pseudomonas* fluorescents et *Erwinia* sont identifiées de façon routinière selon les critères physiologiques proposés par Dickey et Kelman (1988), et par Lelliott *et al.* (1966). Ce travail compare l'efficacité

de différents systèmes (API 20E, API NFT, Biolog) à identifier les bactéries pectinolytiques des genres Pseudomonas fluorescents et Erwinia. L'analyse des profils protéigues est une excellente méthode pour différencier les sousespèces ou les pathovars de différentes espèces de bactéries phytopathogènes (Paradis et al. 1994; Van Zyl et Steyn 1990). Toutefois, comme cette méthode requiert de nombreuses étapes de manipulation, telles que lyse des cellules, extraction et dosage des protéines, électrophorèse, lecture et comparaison des profils électrophorétiques, il devient difficile de l'utiliser de façon routinière. Nous avons plutôt comparé le profil électrophorétique des protéines sécrétées par les bactéries de la pourriture molle. Cette méthode aurait l'avantage d'éliminer les étapes de lyse cellulaire et d'extraction protéique.

MATÉRIEL ET MÉTHODES

Isolement des bactéries pectinolytiques

Les bactéries ont été isolées des tissus situés immédiatement sous la zone de pourriture molle. Un morceau de tissu d'environ 1 cm³ a été prélevé et déposé dans 2 mL d'eau physiologique (NaCl 0,85 %) pendant 30 min. A l'aide d'une micropipette, 100 µL de cette eau de trempage a été prélevée et transférée dans des boîtes de Pétri contenant du milieu MS (Miller et Schroth 1972) ou du milieu B de King (King et al. 1954). Les colonies présentant les caractéristiques des Erwinia (colonies orangées ayant une marge dentelée sur le milieu MS) ou des Pseudomonas (colonies produisant une fluorescence sur le milieu B de King) ont été purifiées par des repiguages successifs sur des milieux de culture. La liste des bactéries utilisées dans ce travail est donnée au tableau 1.

Caractérisation physiologique des bactéries

Les souches de *Pseudomonas* fluorescents ont été identifiées au niveau de l'espèce selon les critères suivants: production de lévane (Lelliott *et al.* 1966), réaction d'oxydase (Lelliott *et al.* 1966), activité pectinolytique (Hildebrand 1971), production d'arginine déshydrolase et

Tableau 1. Liste des souches bactériennes de Pseudomonas et d'Erwinia utilisées

n°	Identification par des tests physiologiques	Isolée de	Provenance
51	P. marginalis	Brassica oleracea var. italica	P.D. Hildebrand
94	P. marginalis	Capsicum annuum var. annuum	MAPAQ ^a
95	P. marginalis	Capsicum annuum var. annuum	MAPAQ
101	P. marginalis	Apium graveolens var. dulce	MAPAQ
114	P. marginalis	Solanum tuberosum	MAPAQ
176	P. marginalis	Allium cepa	MAPAQ
192	P. marginalis	Allium cepa	MAPAQ
194	P. marginalis	Allium cepa	MAPAQ
215	P. marginalis	Aconitum sp.	MAPAQ
221	P. marginalis	Aconitum sp.	MAPAQ
292	P. marginalis	Lactuca sativa	MAPAQ
357	P. marginalis	Lycopersicon esculentum	MAPAQ
58	P. viridiflava	Brassica oleracea var. gemmifera	P.D. Hildebrand
59	P. viridiflava	Brassica oleracea var. gemmifera	P.D. Hildebrand
78	P. viridiflava	Chrysanthemum sp.	J.F. Chauveau
183	P. viridiflava	Solanum melongena var. esculentum	MAPAQ
97	P. syringae	Capsicum annuum var. annuum	MAPAQ
135	P. syringae	Brassica oleracea var. botrytis	MAPAQ
136	P. syringae	Brassica oleracea var. botrytis	MAPAQ
137	P. syringae	Brassica oleracea var. botrytis	MAPAQ
57	P. fluorescens	Brassica oleracea var. italica	P.D. Hildebrand
110	P. fluorescens	<i>Fæniculum</i> sp.	MAPAQ
115	P. fluorescens	Gerbera jamesonii	MAPAQ
120	P. fluorescens	Brassica oleracea var. capitata	MAPAQ
129	P. fluorescens	Solanum tuberosum	MAPAQ
142	P. fluorescens	<i>Brassica campestris</i> var. pekinensis	MAPAQ
296	P. fluorescens	Lactuca sativa	MAPAQ
322	P. fluorescens	Cucumis sativus	MAPAQ
326	P. fluorescens	Cucumis sativus	MAPAQ
331	P. fluorescens	Cucumis sativus	MAPAQ
13	E. carotovora ssp. carotovora	Solanum tuberosum	ATCC15713
15	E. carotovora ssp. carotovora	Daucus carota var. sativus	ATCC25206
16	E. carotovora ssp. carotovora	Solanum tuberosum	ATCC25270
74	E. carotovora ssp. carotovora	Solanum tuberosum	J.F. Chauveau
130	E. carotovora ssp. carotovora	Solanum tuberosum	MAPAQ
138	E. carotovora ssp. carotovora	Solanum tuberosum	MAPAQ
153	E. carotovora ssp. carotovora	Solanum tuberosum	MAPAQ
162	E. carotovora ssp. carotovora	<i>Schlumbergera</i> sp.	MAPAQ
163	E. carotovora ssp. carotovora	Schlumbergera sp.	MAPAQ
166	E. carotovora ssp. carotovora	Schlumbergera sp.	MAPAQ
169	E. carotovora ssp. carotovora	<i>Schlumbergera</i> sp.	MAPAQ
172	E. carotovora ssp. carotovora	Lilium sp.	MAPAQ
182	E. carotovora ssp. carotovora	Euphorbia sp.	MAPAQ
226	E. carotovora ssp. carotovora	Cucumis sativus	MAPAQ
239	E. carotovora ssp. carotovora	Solanum tuberosum	MAPAQ
375	E. carotovora ssp. carotovora	Lactuca sativa	MAPAQ
382 413	E. carotovora ssp. carotovora	Solanum tuberosum Solanum tuberosum	MAPAQ MAPAQ
	E. carotovora ssp. carotovora		MAPAQ
22 62	E. carotovora ssp. atroseptica E. carotovora ssp. atroseptica	Solanum tuberosum Solanum tuberosum	ATCC33260 MAPAQ
157	E. carotovora ssp. atroseptica	Solanum tuberosum	MAPAQ
690	E. carotovora ssp. atroseptica	Solanum tuberosum	MAPAQ
707	E. carotovora ssp. atroseptica E. carotovora ssp. atroseptica	Solanum tuberosum	MAPAQ

^a Souche isolée et caractérisée au laboratoire de diagnostic du ministère de l'Agriculture, des Pêcheries et de l'Alimentation du Québec.

hypersensibilité sur tabac (Lelliott *et al.* 1966). Pour certaines souches, un test supplémentaire a été ajouté, la production d'acide à partir de saccharose (Lelliott *et al.* 1966).

Les souches d'*Erwinia* ont été identifiées au niveau de la sous-espèce selon les critères suivants: production d'oxydase, de catalase, de pectinase et d'indole, réduction du saccharose, production d'acide à partir d'α-méthyle glucoside, utilisation du glucose en conditions anaérobiques et croissance à 36°C. Pour certaines souches, deux tests supplémentaires ont dû être faits (production d'acide à partir de tréhalose et utilisation du malonate). Tous ces tests ont été effectués selon les protocoles proposés par Dickey et Kelman (1988).

Systèmes miniaturisés d'identification

L'utilisation des systèmes API 20E [bioMérieux Canada inc., Saint-Laurent (Québec)], API NFT [bioMérieux Canada inc., Saint-Laurent (Québec)] et Biolog version 3.0 (Biolog inc., Hayward, Californie) a été faite en suivant les recommandations des manufacturiers. Les souches à tester provenaient d'une culture de 24 h sur du Triptic Soy Agar (Difco) pour les tests Biolog, et d'une culture de 24 h sur une gélose nutritive NGA (nutrient glucose agar) pour les tests API 20E et API NFT. Les incubations se faisaient à 30°C durant 24 h pour les tests API 20E et Biolog, et durant 48 h pour le test API NFT. Chaque souche de Pseudomonas a été testée trois fois sur les galeries API NFT et Biolog, alors que les souches d'Erwinia ont été testées trois fois sur les galeries API 20E et Biolog.

Électrophorèse des protéines sécrétées

Les protéines sécrétées ont été obtenues à partir de cultures liquides de 24 h qui se sont développées à 26°C dans le milieu M9 (Maniatis *et al.* 1982). Les cellules bactériennes ont été éliminées du surnageant par une centrifugation à 10 500 *g* pendant 15 min, suivie d'une filtration sur un filtre de cellulose avec des pores de 0,22 µm. Les protéines ont été concentrées en centrifugeant le surnageant dans un Centricon-10 (Amicon) à 4 500 *g* pendant

60-90 min, ce qui permettait d'éliminer les composés de masse moléculaire inférieure à 10 kDa. Un dosage des protéines a alors été effectué par colorimétrie (Protein Assay, Biorad) afin d'analyser des quantités équivalentes de protéines pour chaque échantillon. Le gel de concentration contenait 4% de polyacrylamide (pH 6,7) et le gel de séparation contenait 12 % de polyacrylamide (pH 8,9). L'électrophorèse a été effectuée selon la méthode de Laemmli (1970). Les gels ont été colorés au nitrate d'argent (Hames 1990). Les protéines ont été extraites au moins trois fois pour chaque souche bactérienne.

RÉSULTATS

Caractérisation physiologique

À l'aide de tests physiologiques, 54 souches de Pseudomonas et d'Erwinia. dont 44 ont été isolées au laboratoire de diagnostic, ont été caractérisées. Les 44 souches isolées au laboratoire de diagnostic du MAPAQ provenaient toutes de spécimens de plante différents; 19 de ces souches appartenaient au genre Erwinia et les 25 autres appartenaient au genre Pseudomonas (tableau 1). Les espèces les plus souvent isolées ont été l'E. carotovora ssp. carotovora (Jones) Bergey et al., le P. fluorescens IVb (Trevisan) Migula et le P. marginalis (Brown) Stevens. Nous avons également identifié des souches de P. viridiflava (Burkholder) Dowson et de P. syringae van Hall. Un seul test physiologique permettait de distinguer ces deux dernières espèces, soit la production d'acide à partir de saccharose, car le P. syringae produit de l'acide. De plus, des souches ont été identifiées comme E. carotovora ssp. atroseptica (van Hall) Dye. Les souches 166 et 169 produisaient de l'indole, ce qui caractérise l'E. chrysanthemi Burkholder, McFadden et Dimock. Cependant, nous avons classé ces deux souches dans le groupe des E. carotovora ssp. carotovora, parce que les autres propriétés physiologiques de ces souches, dont la production d'acide à partir de tréhalose et l'incapacité à utiliser le malonate, les apparentaient à l'E. carotovora ssp. carotovora.

Identification des souches de Pseudomonas par API NFT et Biolog

Le système Biolog (version 3) a identifié 9 des 12 souches de *P. marginalis* (selon les tests physiologiques) à au moins deux reprises comme étant le *P. marginalis*. Le système Biolog a fourni cette identification à 25 reprises sur les 36 tests réalisés. Pour 10 des 36 tests effectués, l'identification la plus probable a été *P. corrugata*; cependant la deuxième identification la plus probable était alors *P. marginalis*. Trois codes API NFT (1557555, 1757555 et 1557455) ont été fréquemment associés à ces souches; 11 des 12 souches ont obtenu, à deux ou trois reprises, un de ces trois codes les plus fréquents (tableau 2).

Plusieurs des souches de *P. fluorescens* (selon les tests physiologiques) n'ont pu être identifiées à l'espèce en utilisant le système Biolog. En effet, dans 40 % des cas, le pourcentage de similarité entre nos souches et celles de la banque de données était inférieur à 50 %. Toutefois, en se basant sur l'identification la plus probable (que le pourcentage de similarité soit inférieur ou supérieur à 50 %), les identifications les plus fréquentes pour les 30 tests réalisés sont *P. fluorescens* à 11 reprises, *P. marginalis* à cinq reprises

et *Pseudomonas* sp. à quatre reprises. Lors des essais avec les galeries API NFT, 24 codes différents ont été obtenus pour les 30 tests réalisés (tableau 2).

Il existe une excellente correspondance entre l'utilisation des tests physiologiques et l'utilisation du système Biolog pour identifier le *P. viridiflava*. Trois des quatre souches de *P. viridiflava* ont été identifiées comme telles, et ce, à trois reprises. Seule la souche 78 n'a été identifiée qu'à une seule reprise comme *P. viridiflava*. Le système Biolog ne réussit cependant pas à identifier les souches de *P. syringae*. Trois principaux codes API NFT étaient associés au *P. viridiflava* (0457451,0457441 et 0447451). Deux codes principaux étaient associés au *P. syringae* (0477541 et 0477141) (tableau 2).

Électrophorèse des protéines sécrétées par les souches de Pseudomonas

Malgré le fait que les souches de *Pseudo-monas* se soient développées en milieu minimal, un nombre relativement important de protéines ont été sécrétées dans le milieu de culture. De 6 à 18 protéines sécrétées ont été décelées dans les milieux de culture (fig. 1).

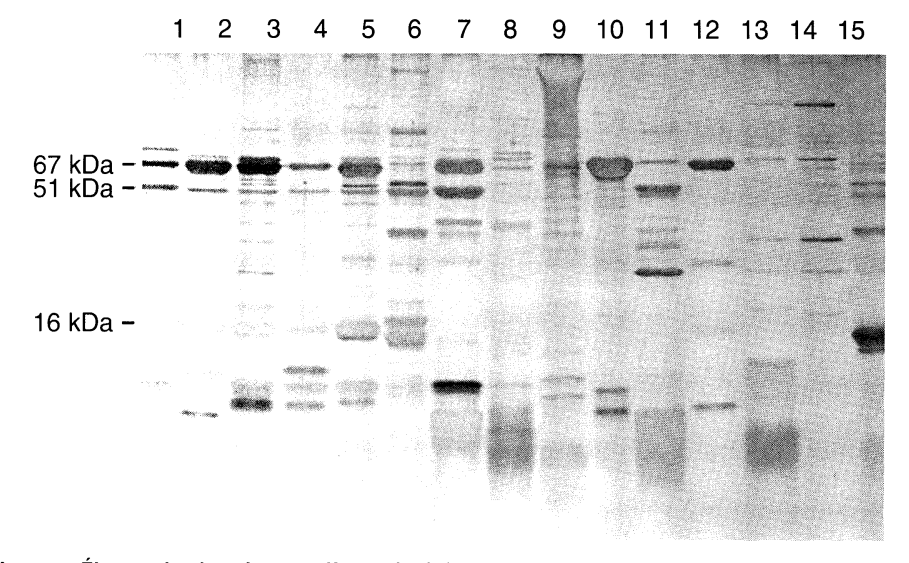


Figure 1. Électrophorèse des protéines sécrétées par des souches de *Pseudomonas* causant la pourriture molle. *P. marginalis*: puits 1-5, souches 115, 101, 95, 94 et 51, respectivement; *P. fluorescens*: puits 6-12, souches 296, 142, 129, 120, 114, 110 et 57, respectivement; *P. syringae*: puits 13 et 14, souches 135 et 97, respectivement; *P. viridiflava*: puits 15, souche 58. Les chiffres à gauche de la figure sont des indicateurs de masse moléculaire.

Tableau 2. Identification des souches de *Pseudomonas* par caractérisation physiologique et par les systèmes API NFT et Biolog version 3.0

Identification par des	API NFT		Biolog		
tests physiologiques	code	fréquence	identificationb	fréquence	
P. marginalis	1557555 1757555 1557455 0557455 0157555 0157555 0157557 1547455 1555455 1557755	13/36 8/36 5/36 2/36 2/36 1/36 1/36 1/36 1/36 1/36 1/36	P. marginalis P. corrugata P. fluorescens	25/36 10/36 1/36	
P. viridiflava	0457451 0457441 0447451 0450400 0457551	6/12 2/12 2/12 1/12 1/12	P. viridiflava P. syringae Aucune identification	10/12 1/12 1/12	
P. syringae	0477541 0477141 0477551 0477553 0477573	6/12 3/12 1/12 1/12 1/12	Aucune identification	12/12	
P. fluorescens	0157555 0157557 0157577 0157455 0157455 0750457 0150457 0155457 5557577 1056557 1042445 1142445 0342757 0041457 5757555 7657555 7275555 0762757 0463757 0663757 1557555 1757555	5/30 2/30 2/30 1/30 1/30 1/30 1/30 1/30 1/30 1/30 1	P. fluorescens P. marginalis Pseudomonas sp. P. corrugata P. putida Aucune identification	11/30 5/30 4/30 1/30 1/30 8/30	

^a Nombre de fois que le code a été obtenu/nombre de tests réalisés avec les souches d'une même espèce.

^b Le système identifie une souche à l'espèce lorsque le taux de similarité est supérieur à 50 %.

^c Nombre de fois que l'identification a été obtenue/nombre de tests réalisés avec les souches d'une même espèce.

Certaines caractéristiques du profil électrophorétique des différentes espèces de *Pseudomonas* ont été relevées. Trois bandes majeures étaient habituellement présentes dans le surnageant des souches de *P. marginalis*. La masse moléculaire des trois protéines était approximativement de 67, 51 et 16 kDa. Une seule souche faisait exception: la souche 114, chez qui seule la protéine de 67 kDa était présente.

Le profil protéique des souches de P. fluorescens contenait également une protéine de 67 kDa avec ou sans une protéine de 51 kDa (fig. 1). La quantité de ces protéines sécrétées dans le milieu de culture variait sensiblement entre les différentes souches de P. fluorescens. Cependant, pour une souche donnée, ces protéines étaient toujours en quantité plus importante. La protéine de 16 kDa ne se trouvait chez aucune souche, à l'exception de la souche 115. Une forte hétérogénéité était toutefois observée entre les souches de P. fluorescens. Aucune protéine majeure de 67 kDa ou de 51 kDa n'a été révélée dans le profil des souches de P. viridiflava et P. syringae (fig. 1).

Identification des souches d'Erwinia par API 20E et Biolog

Chez *E. carotovora* ssp. *carotovora*, 16 des 18 souches ont été identifiées comme telles à au moins deux reprises avec le système Biolog. Seulement trois souches d'*E. carotovora* ssp. *carotovora* ont été associées à l'*E. carotovora*ssp. *atroseptica* et ceci ne s'est produit qu'à une occasion sur trois (tableau 3).

Seulement une souche d'*E. carotovora* ssp. *atroseptica* sur les six souches utilisées, a été identifiée comme telle à au moins deux reprises avec le système Biolog. Les autres souches ont été identifiées comme *E. carotovora* ssp. *carotovora*, et dans certains cas, le système ne permettait pas de déterminer de quelle sous-espèce il s'agissait (tableau 3).

Le système API 20E a fourni trois principaux codes (1207373, 1207173 et 1205173) pour 40 des 54 essais effectués avec les souches d'E. carotovora ssp. carotovora. L'un destrois principaux codes a été associé à au moins deux reprises pour 14 des 18 souches d'E. carotovora ssp. carotovora. Un seul code API 20E

Tableau 3. Identification des souches d'*Erwinia* par caractérisation physiologique et par les systèmes API 20E et Biolog version 3.0

Identification par des	API 20E		Biolog	
tests physiologiques	code	fréquence	identification ^b	fréquence°
E. carotovora ssp. carotovora	1207373	16/54	E. carotovora ssp. carotovora	45/54
·	1207173	15/54	E. carotovora ssp. atroseptica	3/54
	1205173	9/54	<i>Erwinia</i> sp.	2/54
	1205363	3/54	Enterobacter agglomerans	1/54
	1205373	2/54	Aucune identification	3/54
	1245773	2/54		
	1007173	2/54		
	1207573	1/54		
	1207333	1/54		
	1205573	1/54		
	1245173	1/54		
	1005173	1/54		
E. carotovora ssp. atroseptica	1205173	17/18	E. carotovora ssp. carotovora	9/18
	1207173	1/18	Erwinia sp.	6/18
			E. carotovora ssp. atroseptica	3/18

^a Nombre de fois que le code a été obtenu/nombre de tests réalisés avec les souches d'une même espèce.

^b Le système identifie une souche à l'espèce lorsque le taux de similarité est supérieur à 50%.

[°] Nombre de fois que l'identification a été obtenue/nombre de tests réalisés avec les souches d'une même espèce.

(1205173) a été associé aux souches d'*E. carotovora* ssp. *atroseptica*. Ce code a été rarement associé à l'*E. carotovora* ssp. *carotovora* (tableau 3).

Electrophorèse des protéines sécrétées par les souches d'Erwinia Tout comme pour les Pseudomonas, de nombreuses protéines sont sécrétées à l'extérieur des cellules lorsque les souches d'Erwinia carotovora croissent dans le milieu minimal M9. La présence de 8 à 22 protéines a été révélée par une coloration au nitrate d'argent. Les patrons électrophorétiques variaient fortement entre les souches (fig. 2).

DISCUSSION

La classification des *Pseudomonas* fluorescents est toujours controversée. Dans la dernière édition du *Bergey's Manual of Systematic Bacteriology* (Palleroni 1984), ces bactéries sont divisées en deux groupes selon leur production d'arginine déshydrolase. Parmi les bactéries productrices d'arginine déshydrolase, on compte cinq espèces, dont le

P. fluorescens. L'espèce P. fluorescens se divise en cinq biovars. Les bactéries communément appelées P. marginalis par les phytopathologistes appartiennent en fait au biovar II du P. fluorescens. Toutefois, dans ce travail, nous référerons à ces bactéries sous le nom de P. marginalis. Parmi les espèces ne produisant pas d'arginine déshydrolase, nous comptons trois espèces dont le P. syringae et le P. viridiflava.

Aucune des techniques utilisées n'est un outil de diagnostic parfait. Même les tests classiques de caractérisation physiologique peuvent s'avérer imparfaits. Par exemple, la souche 115, qui a été identifiée comme *P. fluorescens* par cette méthode, semble plutôt appartenir à l'espèce *P. marginalis* si l'on se fie à toutes les autres méthodes d'identification. De même, la souche 114 de *P. marginalis* devrait être classée comme *P. fluorescens* selon les autres méthodes d'identification.

Les souches de *P. marginalis* semblent former une population relativement homogène. Le système d'identification de Biolog permet de reconnaître la



Figure 2. Électrophorèse des protéines sécrétées par des souches d'*Erwinia* causant la pourriture molle. *E. carotovora* ssp. *atroseptica*: puits 1-3, souches 159, 157 et 22, respectivement; *E. carotovora* ssp. *carotovora*: puits 4-14, souches 169, 166, 182, 172, 163, 162, 153, 138, 130, 74 et 13, respectivement. Les chiffres à gauche de la figure sont des indicateurs de masse moléculaire.

majorité des souches de cette espèce. De plus, trois codes API NFT (1557555, 1757555 et 1557455), ne différant entre eux qu'à une ou deux positions, étaient associés aux souches de P. marginalis. Toutes les souches de P. marginalis se caractérisent aussi par la présence, dans leur profil protéique, d'une quantité importante de trois protéines de 67, 51 et 16 kDa. La proximité taxonomique entre le P. marginalis et le P. fluorescens est confirmée par l'analyse des profils des protéines sécrétées. Tout comme pour le P. marginalis et contrairement au P. syringae et au P. viridiflava, des quantités importantes de protéines de 67 kDa ou de 51 kDa (ou de ces deux protéines) sont sécrétées par toutes les souches de P. fluorescens.

En dépit de la proximité taxonomique entre le P. viridiflava et le P. svringae, les souches de ces espèces peuvent être différenciées par le système API NFT. En effet, bien que les codes API NFT associés au deux espèces se ressemblent beaucoup, le troisième chiffre du code est toujours le 7 pour les souches de P. syringae, alors qu'il est le 4 ou le 5 pour les souches de P. viridiflava. Le système Biolog ne permet pas d'identifier le P. syringae, bien qu'il reconnaisse le P. viridiflava pour 10 des 12 tests réalisés (83 %). Jones et al. (1993) obtiennent un résultat différent pour le P. syringae puisque 100% des souches de cette espèce furent identifiées avec précision avec le système Biolog. Cependant, les résultats de Jones et al. (1993) pour l'identification de P. viridiflava sont similaires à ceux de notre étude, puisque 87% des souches de cette espèce sont reconnues avec le système Biolog.

La variabilité observée entre les souches de *P. fluorescens*, qui a conduit à la division de l'espèce en de nombreux biovars, s'observe également dans la population des souches responsables de la pourriture molle. Les nombreux codes API NFT, associés aux souches de *P. fluorescens* étudiées dans ce travail, et l'hétérogénéité des identifications fournies par le système Biolog pour les souches de *P. fluorescens*, montrent bien la variabilité importante des souches de cette espèce. L'hétérogénéité observée dans ce groupe de bactéries rend donc difficile l'emploi

des systèmes miniaturisés comme outil de diagnostic. Cependant, nos résultats d'identification de *P. fluorescens* avec le système Biolog diffèrent de ceux d'autres études. En effet, Jones *et al.* (1993) et Klingler *et al.* (1992) rapportent que le *P. fluorescens* fut identifié avec précision dans 100 % des cas avec le système Biolog.

L'électrophorèse des protéines sécrétées apparaît la technique la plus fiable pour différencier le P. fluorescens du P. marginalis. Trois protéines de 67, 51 et 16 kDa sont associées au P. marginalis alors que seules les protéines de 67 et 51 kDa étaient retrouvées dans le surnageant des souches de P. fluorescens. Quant aux souches de P. viridiflava et de P. syringae, elles semblent se caractériser par l'absence des protéines de 67 et 51 kDa. Une analyse d'un nombre plus élevé de souches de Pseudomonas serait toutefois nécessaire pour confirmer l'utilité de l'électrophorèse des protéines sécrétées comme outil d'identification des Pseudomonas.

Les systèmes miniaturisés d'identification (API 20E et Biolog) se montrent très efficaces pour reconnaître l'E. carotovora ssp. carotovora. Avec le système Biolog. nous avons toutefois certaines difficultés à reconnaître les souches d'E. carotovora ssp. atroseptica. Tout comme Jones et al. (1993), nos résultats permettent d'identifier avec précision l'E. carotovora sans toutefois différencier les sous-espèces. Le système API 20E attribue un code unique à l'E. carotovora ssp. atroseptica. Ce code est parfois rencontré avec l'E. carotovora ssp. carotovora. Dans une étude antérieure, Mergaert et al. (1984) avaient associé cinq codes API 20E différents aux souches d'E. carotovora ssp. carotovora. Ces codes ont été associés pour 25 des 54 tests réalisés avec les souches d'E. carotovora ssp. carotovora isolées au Québec.

Plusieurs protéines sont sécrétées par les souches d'*E. carotovora*; toutefois, trop de variations sont observées dans les patrons protéiques pour que ces derniers soient utiles à des fins de diagnostic. La détection de protéines cellulaires spécifiques, telles les pectinases, cellulases, protéases, etc., pourrait éventuellement permettre de reconnaître les deux sousespèces. Dans un travail récent, la

production de pectinases par l'E. chrysanthemi a été détectée in planta (Beaulieu et al. 1993). La technique consiste à récupérer les fluides des tissus macérés et à y séparer les différentes pectinases par électrofocalisation. Il serait maintenant intéressant de déterminer si une technique aussi simple pourrait être adoptée pour des fins de diagnostic.

REMERCIEMENTS

Nous remercions C. Goyer pour ses commentaires sur le manuscrit, P.D. Hildebrand et J.F. Chauveau pour le don de souches bactériennes, et B. Drouin pour son aide dans le montage des figures.

RÉFÉRENCES

- Beaulieu, C., M. Boccara et F. Van Gijsegem. 1993. Pathogenic behavior of pectinasedefective *Erwinia chrysanthemi* mutants on different plants. Mol. Plant-Microbe Interact. 6: 197-202.
- Boccara, M., R. Vedel, D. Lalo, M.-H. Lebrun et J.F. Lafay. 1991. Genetic diversity and host range in strains of *Erwinia chrysanthemi*. Mol. Plant-Microbe Interact. 4: 293-299.
- Cappellini, R.A., M.J. Ceponis et G.W. Lightner. 1987. Disorders in celery and carrot shipments to the New York market, 1972-1985. Plant Dis. 71: 1054-1057.
- Ceponis, M.J., R.A. Cappellini et G.W. Lightner. 1985. Disorders in crisphead lettuce shipments to the New York market, 1972-1984. Plant Dis. 69: 1016-1020.
- Darrasse, A., S. Priou, A. Kotoujansky et Y. Bertheau. 1994. PCR and restriction fragment length polymorphism of a *pel* gene as a tool to identify *Erwinia carotovora* in relation to potato diseases. Appl. Environ. Microbiol. 60: 1437-1443.
- Dickey, R.S. et A. Kelman. 1988. Erwinia. Pages 44-59 in N.W. Schaad (réd.), Laboratory guide for identification of plant pathogenic bacteria. APS Press, St. Paul, Minnesota.
- Dickey, R.S., C.H. Zumoff et J.K. Uyemoto. 1984. Erwinia chrysanthemi: serological relationships among strains from several hosts. Phytopathology 74: 1388-1394.
- Gitaitis, R.D., R.E. Baird, R.W. Beaver, D.R. Sumner, J.D. Gay et D.A. Smittle. 1991. Bacterial blight of sweet onion caused by *Pseudomonas viridiflava* in Vidalia, Georgia. Plant Dis. 75: 1180-1182.

- Hames, B.D. 1990. Analysis of gels following electrophoresis. Pages 51-96 in B.D. Hames et D. Rickwood (réds.), Gel electrophoresis of proteins: a pratical approach. IRL. Press, New York.
- Hildebrand, D.C. 1971. Pectate and pectin gels for differentiation of *Pseudomonas* sp. and other bacterial plant pathogens. Phytopathology 61: 1430-1436.
- Hildebrand, P.D. 1989. Surfactant-like characteristics and identity of bacteria associated with broccoli head rot in Atlantic Canada. Can. J. Plant Pathol. 11: 205-214.
- Jones, J.B., A.R. Chase et G.K. Harris. 1993. Evaluation of the Biolog GN MicroPlate system for identification of some plantpathogenic bacteria. Plant Dis. 77: 553-558
- King, E.O., M.K. Ward et D.E. Raney. 1954. Two simple media for the demonstration of pyocyanin and fluorescein. J. Lab. Clin. Med. 44: 301-307.
- Klingler, J.M., R.P. Stowe, D.C. Obenhuber, T.O. Groves, S.K. Mishra et D.L. Pierson. 1992. Evaluation of the Biolog automated microbial identification system. Appl. Environ. Microbiol. 58: 2089-2092.
- Laemmli, U.K. 1970. Cleavage of structural proteins during the assembly of the head of bacteriophage T4. Nature (Lond.) 227: 680-686.
- Lelliott, R.A., E. Billing et A.C. Hayward. 1966. A determinative scheme for the fluorescent plant pathogenic pseudomonads. J. Appl. Bacteriol. 29: 470-489.
- **Liao, C.H. et J.M. Wells. 1987a.** Association of pectolytic strains of *Xanthomonas campestris* with soft rots of fruits and vegetable at retail markets. Phytopathology 77: 418-422.
- **Liao, C.H. et J.M. Wells. 1987b.** Diversity of pectolytic, fluorescent pseudomonads causing soft rots of fresh vegetables at produce markets. Phytopathology 77: 673-677.
- **Lund, B.M. 1983.** Bacterial spoliage. Pages 219-257 *in* C. Dennis (réd.), Post-harvest pathology of fruits and vegetables. Acad. Press, Londres.
- Maniatis, T., E.F. Ffristsh et J. Sambrook. 1982. Molecular cloning: a laboratory manual. Cold Spring Harbor Lab., Cold Spring Harbor, New York.
- Mergaert, J., L. Verdonck, K. Kersters, J. Swings, J.-M. Boeufgras et J. De Ley. 1984. Numerical taxonomy of *Erwinia* species using API systems. J. Gen. Microbiol. 130: 1893-1910.

- Miller, T.D. et M.N. Schroth. 1972. Monitoring the epiphytic population of *Erwinia amylovora* on pear with a selective medium. Phytopathology 62: 1175-1182.
- Palleroni, N.J. 1984. Family I. Pseudomonadaceae Winslow, Broadhurst, Buchanan, Krumwiede, Rogers and Smith 1917, 555^{AL}. Pages 141-218 in N.R. Krieg and J.G. Holt (réd.), Bergey's manual of systematic bacteriology, Volume 1. Williams and Wilkins, Baltimore.
- Paradis, E., C. Goyer, N.C. Hodge, R. Hogue, R.E. Stall et C. Beaulieu. 1994. Fatty acid and protein profiles of *Streptomyces scabies* strains isolated in Eastern Canada. Int. J. Syst. Bacteriol. 44: 561-564.
- Pieczarka, D.J. et J.W. Lorbeer. 1975. Microorganisms associated with bottom rot of lettuce grown on organic soil in New York State. Phytopathology 65: 16-21.

- Samson, R., F. Poutier, M. Sailly et B. Jouan. 1987. Caractérisation des *Erwinia chrysanthemi* isolées de *Solanum tuberosum* et d'autres plantes-hôtes selon les biovars et sérogroupes. Bulletin OEPP (Organ. eur. méditerr. prot. plantes) 17: 11-16.
- Van Zyl, E. et P.L. Steyn. 1990. Differentiation of phytopathogenic *Pseudomonas* and *Xanthomonas* species and pathovars by numerical taxonomy and protein gel electrophoregrams. Syst. Appl. Microbiol. 13: 60-71.
- Ward, L.J. et S.H. De Boer. 1994. Specific detection of *Erwinia carotovora* subsp. *atroseptica* with a digoxigenin-labeled DNA probe. Phytopathology 84: 180-186.